

**Progetto maple punto b**  
**Antonio Marino - Matricola 179054**  
**Costruire il Diagramma di Bode per la seguente**  
**funzione di trasferimento**

$$G := s \rightarrow \frac{(3 \cdot s + 1)}{s \cdot \left( s^2 - \frac{1}{4} \cdot s + 1 \right)} :$$

Il diagramma di Bode è una rappresentazione grafica della risposta in frequenza di una funzione di trasferimento  $G(s)$ .

Tale rappresentazione grafica viene separata dal modulo di  $|G(j\omega)|$  e della sua fase  $\angle G(j\omega)$ .

carico il tool che mette a disposizione gli strumenti per lavorare nel dominio della trasformata di Laplace:

*with(inttrans) :*

determiniamo zeri e poli della f.d.t

*zeriG := solve(numer(G(s)) = 0, s)*

$$\text{zeriG} := -\frac{1}{3} \quad (1)$$

La funzione presenta uno zero a fase minima (semipiano sinistro)

*poliG := solve(denom(G(s)) = 0, s)*

$$\text{poliG} := 0, \frac{1}{8} + \frac{3I\sqrt{7}}{8}, \frac{1}{8} - \frac{3I\sqrt{7}}{8} \quad (2)$$

Il sistema non è BIBO stabile, abbiamo un polo nell'origine e due poli complessi e coniugati (dovuti alla presenza del termine trinomio), che si trovano nel semipiano destro, e sono detti poli instabili.

il trinomio non scomponibile  $s^2 - \frac{1}{4}s + 1$  può essere riscritto come  $s^2 - 2 \cdot \delta \cdot \omega_n + \omega_n^2$  (perchè abbiamo la parte reale dei poli complessi e coniugati nel semipiano destro) di cui determiniamo la pulsazione naturale e smorzamento.

*trinomio := solve( {  $\omega_n^2 = 1, \omega_n > 0, -2 \cdot \delta \cdot \omega_n = -\frac{1}{4}$  }, {  $\omega_n, \delta$  } )*

$$\text{trinomio} := \left\{ \delta = \frac{1}{8}, \omega_n = 1 \right\} \quad (3)$$

Assegniamo ora le variabili pulsazione naturale e smorzamento del termine trinomio

$$\omega_n := rhs(trinomio[2])$$

$$\omega_n := 1 \quad (4)$$

$$\delta := rhs(trinomio[1])$$

$$\delta := \frac{1}{8} \quad (5)$$

Notiamo che il valore dello smorzamento è inferiore al valore critico rispetto al quale si verifica il fenomeno di risonanza

$$evalb\left( evalf\left( \delta < \frac{1}{\sqrt{2}} \right) \right) = true$$

Per cui determiniamo anche la pulsazione di risonanza

$$\omega_r := \omega_n \cdot \sqrt{1 - 2 \cdot \delta^2}$$

Calcoliamo anche il valore del picco di risonanza del termine trinomio

$$M_r := \frac{1}{2 \cdot \delta \cdot \sqrt{1 - 2 \cdot \delta^2}}$$

Valutiamolo ora il picco di risonanza in decibel:

$$evalf(20 \cdot \log_{10}(|M_r|)) = 12.17908267$$

Abbiamo bisogno di altre informazioni per ricavarci i due diagrammi:

Il numero di poli nell'origine :

$$\mu := numboccur([poliG], 0)$$

$$\mu := 1 \quad (6)$$

La pulsazione di rottura dello zero:

$$\Omega := |(zeriG)|$$

$$\Omega := \frac{1}{3} \quad (7)$$

Il Guadagno di Bode:

$$K_b := \lim_{s \rightarrow 0} s^\mu \cdot G(s)$$

$$K_b := 1 \quad (8)$$

Carico il tool che mi permette di rappresentare graficamente il modulo e la fase:  
with(plots) :

Ora definisco le due funzioni modulo per tracciare il diagramma approssimato, è quello che consente di considerare il contributo del termine trinomio:

$$F_{modulo} := (\omega, \omega_t) \rightarrow \begin{cases} 0 & \omega < \omega_t \\ 20 \cdot \log_{10} \left( \frac{\omega}{\omega_t} \right) & otherwise \end{cases} :$$

$$F_{modulotri} := (\omega, \omega_n, \delta) \rightarrow 20 \cdot \log_{10} \left( \sqrt{\left( 1 - \left( \frac{\omega}{\omega_n} \right)^2 \right)^2 + \left( \frac{2 \cdot \delta \cdot \omega}{\omega_n} \right)^2} \right) :$$

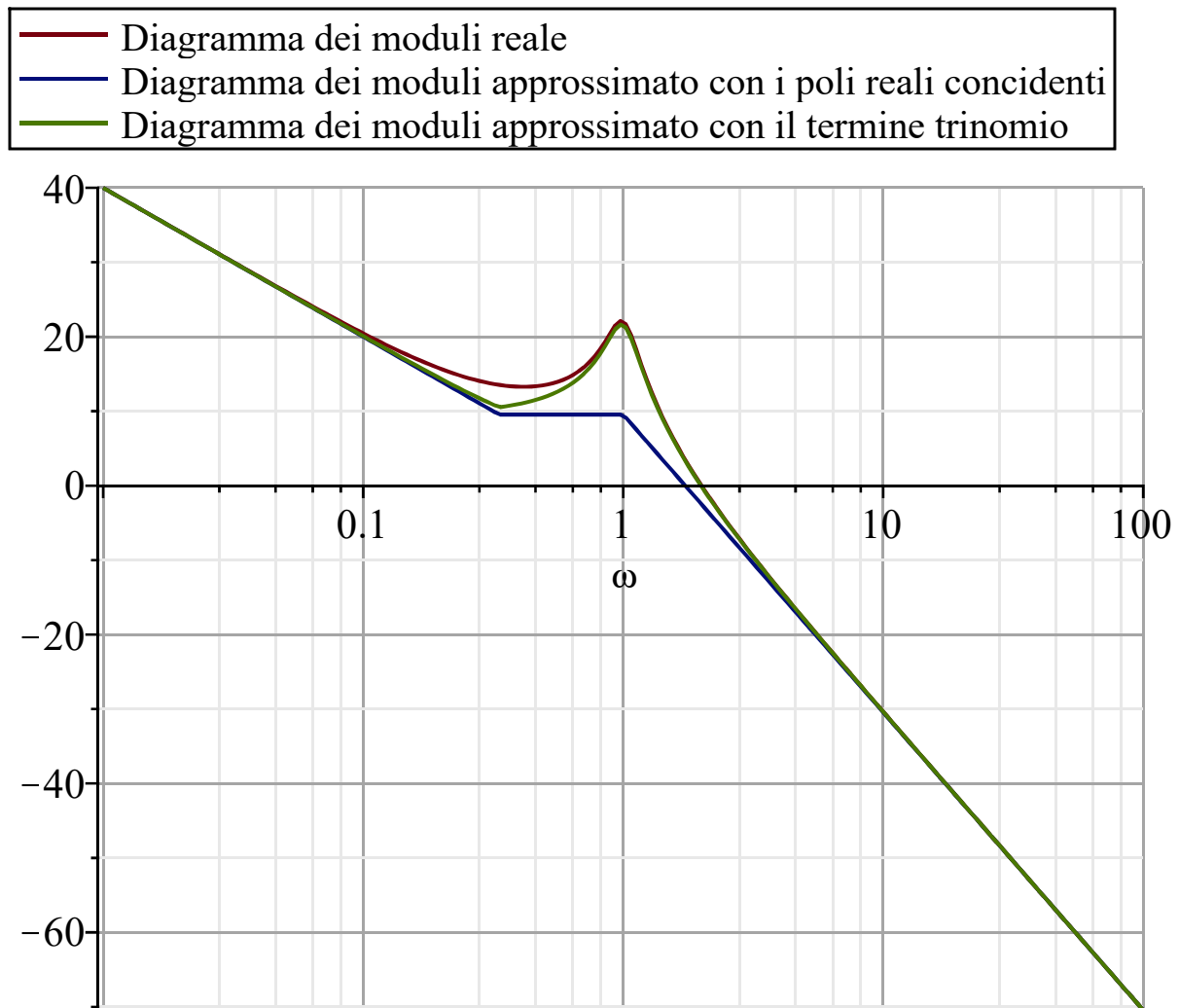
Utilizziamo le due funzioni in base alle informazioni poco prima ricavate:

$$moduloApp := \omega \rightarrow 20 \cdot \log_{10}(|K_b|) + F_{modulo}(\omega, \Omega) - 20 \cdot \mu \cdot \log_{10}(\omega) - 2 \cdot F_{modulo}(\omega, \omega_n) :$$

$$moduloApptri := \omega \rightarrow 20 \cdot \log_{10}(|K_b|) + F_{modulo}(\omega, \Omega) - 20 \cdot \mu \cdot \log_{10}(\omega) - F_{modulotri}(\omega, \omega_n, \delta) :$$

Tracciamo il diagramma dei moduli effettivo, quello approssimato considerando una coppia di poli reali coincidenti, e quello con il contributo del termine trinomio:

```
semilogplot( [ 20·log10(|G(I·ω)|), moduloApp(ω), moduloApptri(ω) ], ω = 0.01 ..100, gridlines,
legend
= ["Diagramma dei moduli reale", "Diagramma dei moduli approssimato con i poli reali coincidenti",
"Diagramma dei moduli approssimato con il termine trinomio"] )
```



Per il diagramma dei modulo dividiamo le pulsazioni in due regioni: una di bassa frequenza ed una di alta frequenza, la prima la determino considerando la pulsazione di rottura più bassa considerando zeri e poli, quella di alta frequenza prendiamo la pulsazione di rottura più alta.

Non sono presenti slittamenti per quel che riguarda il diagramma, perchè il guadagno di bode è pari a 1.

vediamo le pendenze asintotiche:

in bassa frequenza abbiamo -20dB/dec a causa del polo nell'origine

in alta frequenza si ottiene attraverso la somma algebrica dei diversi elementi dinamici (gli zeri che tendono ad amplificare, poli che tendono di attenuare),

$$20 \cdot (1 \text{ zero} - 1 \text{ polo nell'origine} - 2 \text{ poli}) = -40 \text{ dB/dec.}$$

Ora definisco le due funzioni fase per tracciare il diagramma approssimato, è quello che ci consente di considerare il contributo del termine trinomio:

$$F_{fase} := (\omega, \omega_t) \rightarrow \begin{cases} 0 & \frac{\omega}{\left(\frac{\omega_t}{10}\right)} < 1 \\ \frac{\pi}{4} \cdot \log_{10} \left( \frac{\omega}{\left(\frac{\omega_t}{10}\right)} \right) & \frac{\omega_t}{10} \leq \omega < 10 \omega_t : \\ \frac{\pi}{2} & otherwise \end{cases}$$

$$F_{fasetri} := (\omega, \omega_n, \delta) \rightarrow \arg \left( \left( 1 - \left( \frac{\omega}{\omega_n} \right)^2 \right) + \frac{2 \cdot I \cdot \delta \cdot \omega}{\omega_n} \right) :$$

Come fatto per i moduli costruiamo in base alle informazioni ricavate prima:

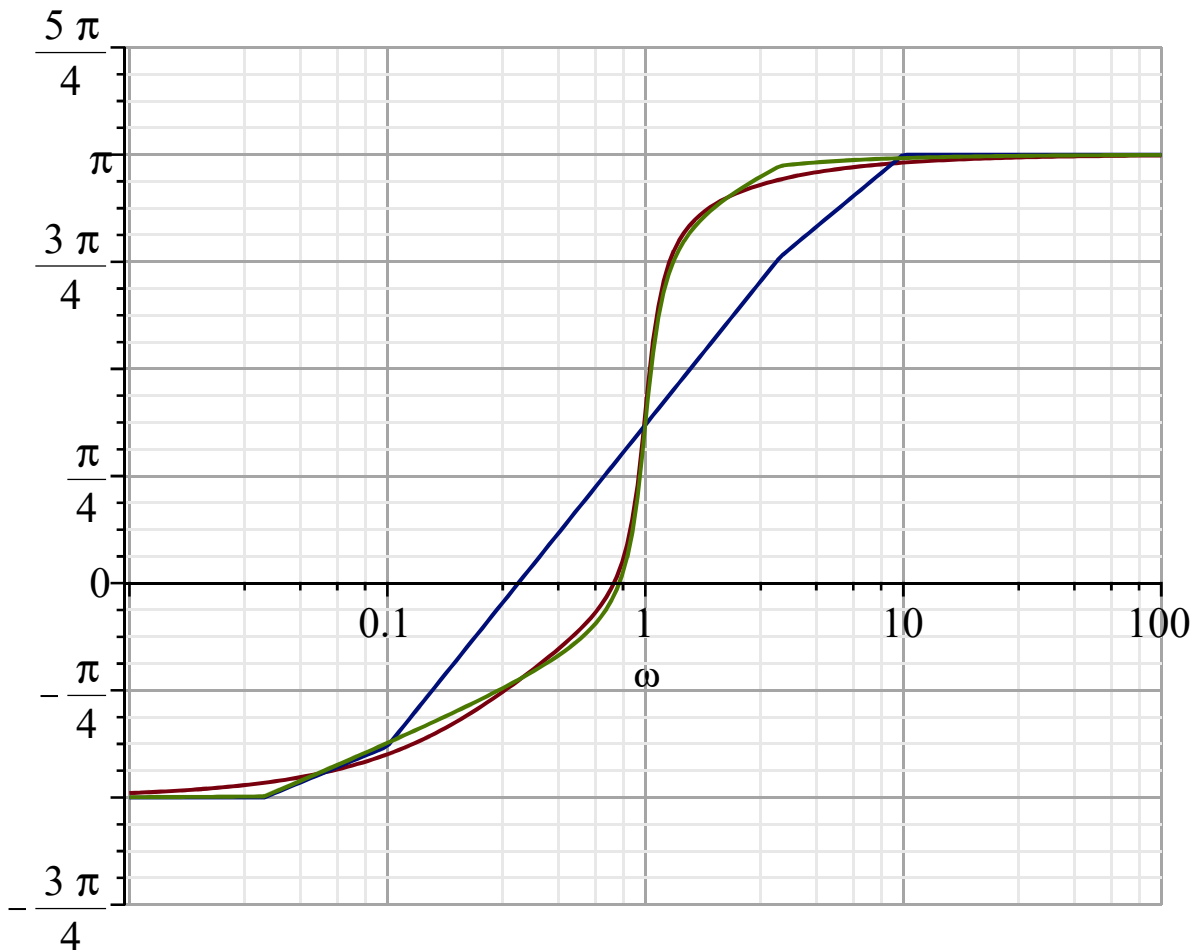
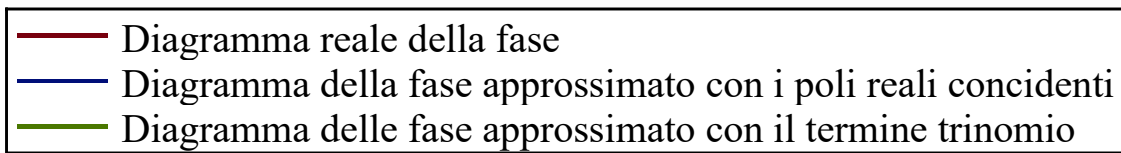
$$faseapp := \omega \rightarrow \arg(K_b) + \text{signum}(-zeriG) \cdot F_{fase}(\omega, \Omega) - \frac{\mu \cdot \pi}{2} + 2 \cdot F_{fase}(\omega, \omega_n) :$$

$$faseapptri := \omega \rightarrow \arg(K_b) + \text{signum}(-zeriG) \cdot F_{fase}(\omega, \Omega) - \frac{\mu \cdot \pi}{2} + F_{fasetri}(\omega, \omega_n, \delta) :$$

$$fasereale := \omega \rightarrow \arg(K_b) + \text{signum}(-zeriG) \cdot \arg \left( 1 + \frac{I \cdot \omega}{\Omega} \right) - \frac{\mu \cdot \pi}{2} + F_{fasetri}(\omega, \omega_n, \delta) :$$

Tracciamo il diagramma delle fasi effettivo, quello approssimato considerando una coppia di poli reali coincidenti, e quello con il contributo del termine trinomio:

$$\text{semilogplot} \left( [fasereale(\omega), faseapp(\omega), faseapptri(\omega)], \omega = 0.01 \dots 100, -\frac{3\pi}{4} \dots \frac{5\pi}{4}, \text{gridlines}, \right. \\ \left. \text{legend} = ["Diagramma reale della fase", "Diagramma della fase approssimato con i poli reali concidenti", "Diagramma delle fase approssimato con il termine trinomio"] \right)$$



Per il diagramma delle fasi consideriamo tre regioni bassa, media e alta frequenza, per determinare la partenza delle fasi in bassa frequenza consideriamo solo il polo nell'origine che da contributo pari a  $-90$  gradi, (il guadagno di bode dato che è positivo non da nessun contributo).

in alta frequenza, abbiamo uno zero a fase minima, un polo nell'origine ed una coppia di poli complessi e coniugati instabili,.

Tutte queste componenti portano in anticipo il diagramma delle fasi fino a farlo arrivare a  $180$  gradi.

***Utilizzo questo tool per verificare la corretta rappresentazione dei diagramma di bode:***

*with(DynamicSystems) :*

$$\text{BodePlot}\left(\text{TransferFunction}\left(\frac{(3 \cdot s + 1)}{s \cdot \left(s^2 - \frac{1}{4} \cdot s + 1\right)}\right)\right)$$

